

后端1

10.1 概述

10.1.1 状态估计的概率解释

10.1.2 线性系统和卡尔曼滤波

最简单的线性高斯系统：运动方程① 与观测方程②

$$\begin{cases} x_k = A_k x_{k-1} + u_k + w_k \\ z_k = C_k x_k + v_k \end{cases}$$

其中， x_k 表示k时刻的状态， x_{k-1} 表示k-1时刻的状态， u_k 为k时刻的输入， w_k 为k时刻的噪声； z_k 为传感器k时刻的读数， v_k 为测量噪声。 A_k 和 C_k 为参数矩阵。在这之中，假设所有状态和噪声均满足高斯分布：

$$w_k \text{ 服从 } N(0, R)$$

$$v_k \text{ 服从 } N(0, Q)$$

我们先根据运动方程确定 x_k 的先验分布（根据运动方程以及上一时刻的 x_{k-1} ，我们可以直接根据公式得到 x_k ，这里 x_k 只在其运动方程的条件下得到的）

$$P(x_k | x_{k-1}) = N(A_k x_{k-1} + u_k, A_k P_{k-1} A_k^T + R)$$

这一步称为**预测**，显示了如何根据上一个时刻的状态，根据输入信息(附带噪声)，推断当前时刻的状态分布，得到先验。

接下来，根据观测方程，在机器人位置为 x_k (真实)时，得到的观测数据 z_k ，那么，在 x_k 条件下， z_k 的分布为：

$$P(z_k | x_k) = N(C_k x_k, Q)$$

下一步，我们需要得到后验概率，即在 z_k 的情况下， x_k 的分布，根据贝叶斯公式：

$$N(\hat{x}_k, \hat{P}_k) = N(C_k x_k, Q) \times N(\bar{x}_k, \bar{P}_k)$$

为了求后验的均值与协方差，我们直接考虑高斯分布的指数部分的计算：

$$(x_k - \hat{x}_k)^T \hat{P}_k^{-1} (x_k - \hat{x}_k) = (z_k - C_k x_k)^T Q^{-1} (z_k - C_k x_k) + (x_k - \bar{x}_k)^T \bar{P}_k^{-1} (x_k - \bar{x}_k)$$

展开，并比较 x_k 的二次项系数和一次项系数：

①对于二次项系数：

$$\hat{P}_k^{-1} = C_k^T Q^{-1} C_k + \bar{P}_k^{-1}$$

上式左右乘 \hat{P}_k ，得到：

$$I = \hat{P}_k C_k^T Q^{-1} C_k + \hat{P}_k \bar{P}_k^{-1}$$

我们记：

$$K = \hat{P}_k C_k^T Q^{-1}$$

②对于一次项系数：

$$-2\hat{\mathbf{x}}_k^T \hat{\mathbf{P}}_k^{-1} \mathbf{x}_k = -2\mathbf{z}_k^T \mathbf{Q}^{-1} \mathbf{C}_k \mathbf{x}_k - 2\bar{\mathbf{x}}_k^T \bar{\mathbf{P}}_k^{-1} \mathbf{x}_k.$$

取 \mathbf{x}_k 的系数并且取转置后，整理得到：

$$\hat{\mathbf{P}}_k^{-1} \hat{\mathbf{x}}_k = \mathbf{C}_k^T \mathbf{Q}^{-1} \mathbf{z}_k + \bar{\mathbf{P}}_k^{-1} \bar{\mathbf{x}}_k.$$

最终，代入K，得到：

$$\begin{aligned} \hat{\mathbf{x}}_k &= \hat{\mathbf{P}}_k \mathbf{C}_k^T \mathbf{Q}^{-1} \mathbf{z}_k + \hat{\mathbf{P}}_k \bar{\mathbf{P}}_k^{-1} \bar{\mathbf{x}}_k \\ &= \mathbf{K} \mathbf{z}_k + (\mathbf{I} - \mathbf{K} \mathbf{C}_k) \bar{\mathbf{x}}_k = \bar{\mathbf{x}}_k + \mathbf{K} (\mathbf{z}_k - \mathbf{C}_k \bar{\mathbf{x}}_k). \end{aligned}$$

这样，我们最终得到线性卡尔曼滤波的步骤，分为**预测**和**更新**两个部分

1. 预测：

$$\bar{\mathbf{x}}_k = \mathbf{A}_k \hat{\mathbf{x}}_{k-1} + \mathbf{u}_k, \quad \bar{\mathbf{P}}_k = \mathbf{A}_k \hat{\mathbf{P}}_{k-1} \mathbf{A}_k^T + \mathbf{R}. \quad (10.24)$$

2. 更新：先计算 \mathbf{K} ，它又称为卡尔曼增益：

$$\mathbf{K} = \bar{\mathbf{P}}_k \mathbf{C}_k^T (\mathbf{C}_k \bar{\mathbf{P}}_k \mathbf{C}_k^T + \mathbf{Q})^{-1}. \quad (10.25)$$

然后计算后验概率的分布：

$$\begin{aligned} \hat{\mathbf{x}}_k &= \bar{\mathbf{x}}_k + \mathbf{K} (\mathbf{z}_k - \mathbf{C}_k \bar{\mathbf{x}}_k) \\ \hat{\mathbf{P}}_k &= (\mathbf{I} - \mathbf{K} \mathbf{C}_k) \bar{\mathbf{P}}_k. \end{aligned} \quad (10.26)$$

至此，卡尔曼滤波结束。

matlab实践代码：

```
clear;
clc;
close;

%test kalmen filter
%linear system:
% $\mathbf{x}_k = \mathbf{A}_k \mathbf{x}_{k-1} + \mathbf{u}_k + \mathbf{w}_k$ 
% $\mathbf{z}_k = \mathbf{C}_k \mathbf{x}_k + \mathbf{v}_k$ 

N=100
x0=0 %initial value
uk=sin(0.01:0.01:(N)*0.01)-sin(0:0.01:(N-1)*0.01)
uk=uk*1000

uk=zeros(1,N);
```

```

Ak=[1]
Ck=[1]

KaleFilter(Ak,Ck,x0,N,uk)

function KaleFilter(Ak,Ck,x0,N,uk)
    %x1=Ak*x0+uk(1)+randn(1)
    X_true=zeros(1,N);
    X_noise=zeros(1,N);
    X_KF=zeros(1,N);
    Z_Meas=zeros(1,N);
    wk=sqrt(0.01).*randn(1,N);
    vk=sqrt(0.25).*randn(1,N);

    x1k=x0;
    x1k_hat=x0;
    P1k_hat=0.01;
    for i=1:N
        %predict
        xk_line=Ak*x1k_hat+uk(i)+wk(i);
        Pk_line=Ak*P1k_hat*Ak'+0.01;

        xk=Ak*x1k+uk(i);
        zk=Ck*xk+vk(i);
        %clac
        K=Pk_line*Ck'/(Ck*Pk_line*Ck'+0.25);

        %update
        xk_hat=xk_line+K*(zk-Ck*xk_line);
        Pk_hat=(eye(1)-K*Ck)*Pk_line;

        X_true(i)=xk;
        X_noise(i)=xk_line;
        X_KF(i)=xk_hat;
        Z_Meas(i)=zk;

        P1k_hat=Pk_hat;
        x1k_hat=xk_hat;
    end
    plot(X_true)
    hold on;
    plot(X_noise)
    hold on;
    plot(X_KF)
    hold on;
    plot(Z_Meas)
    hold off;

    legend("true","noise","KF","meas")
end

```

10.1.3 非线性系统和扩展卡尔曼滤波(EKF)

在SLAM中的运动方程和观测方程通常是非线性函数，尤其是视觉SLAM中的相机模型，需要使用相机内参模型以及李代数表示的位姿。

10.2 BA与图优化

所谓的BA(Bundle Adjustment), 是指从视觉重建中提炼出的最优3D模型和相机参数(内参与外参)。

从每一个特征点反射出来的几束光线(bundles of light rays), 在我们把相机姿态和特征点空间位置做出最优的调整(adjustment)之后, 最后收束到相机光心的这个过程, 简称为BA

10.2.1 投影模型和BA代价函数

在此, 复习投影模型和畸变, 从一个世界坐标系中的点p出发, 考虑内外参数和畸变, 最后投影成像素坐标:

①把世界坐标转换到相机坐标, 使用相机外参数(R,t):

$$P' = Rp + t = [X', Y', Z']^T$$

②将P'投至归一化平面, 得到归一化坐标:

$$P_c = [u_c, v_c, 1]^T = [X'/Z', Y'/Z', 1]^T$$

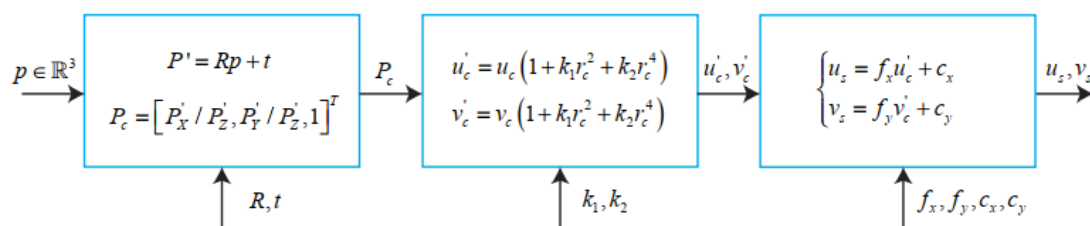
③对归一化坐标去畸变, 得到去畸变后的坐标 (只考虑径向畸变):

$$\begin{cases} u'_c = u_c (1 + k_1 r_c^2 + k_2 r_c^4) \\ v'_c = v_c (1 + k_1 r_c^2 + k_2 r_c^4) \end{cases}$$

④最后, 根据内参模型, 计算像素坐标:

$$\begin{cases} u_s = f_x u'_c + c_x \\ v_s = f_y v'_c + c_y \end{cases}$$

整体流程如下图:



这个过程, 就是前面提到的**观测方程**, 在之前我们抽象地将其记为: $z=h(x,y)$ 。现在我们给出详细的参数化过程: 这里的x指代此时相机的位姿(R,t), 对应李代数为 ξ 。路标y即这里的三维点p, 而观测数据则是像素坐标 $z=[u_s, v_s]^T$ 。

从最小二乘角度: 观测误差:

$$e = z - h(\xi, p)$$

我们设 z_{ij} 是在位姿 ξ_i 处观察路标 p_j 产生的数据, 那么整体的**代价函数(Cost Function)**为:

$$\frac{1}{2} \sum_{i=1}^m \sum_{j=1}^n \|e_{ij}\|^2 = \frac{1}{2} \sum_{i=1}^m \sum_{j=1}^n \|z_{ij} - h(\xi_i, p_j)\|^2$$

对这个最小二乘进行求解, 相当于对位姿和路标同时作了调整, 也就是所谓的BA。

10.2.2 BA的求解

根据非线性优化思想，我们应该从某个初始值开始，不断地寻找下降方向 Δx 来找到目标函数的最优解。

我们给自变量一个小增量，可以得到：

$$\frac{1}{2} \|f(x + \Delta x)\|^2 \approx \frac{1}{2} \sum_{i=1}^m \sum_{j=1}^n \|e_{ij} + F_{ij} \Delta \xi_i + E_{ij} \Delta p_j\|^2.$$

其中， F_{ij} 表示代价函数当前状态下对相机位姿的偏导数， E_{ij} 表示代价函数当前状态下对路标点位置的偏导数。

我们把相机位姿变量和空间点变量分别放在一起：

$$x_c = [\xi_1, \xi_2, \dots, \xi_m]^T \in R^{6m}$$

$$x_p = [p_1, p_2, \dots, p_n]^T \in R^{3n}$$

那么，上式可以简化为：

$$\frac{1}{2} \|f(x + \Delta x)\|^2 = \frac{1}{2} \|e + F \Delta x_c + E \Delta x_p\|^2$$

这里，使用G-N或L-M法都包括增量方程：

$$H \Delta x = g$$

我们把雅可比矩阵分块为：

$$J = [F \ E]$$

那么这个H矩阵规模会很大，但其拥有特殊结构，利用其特殊结构，我们可以加速求解过程。

10.2.3 稀疏性和边缘化

我们单独考虑 $j_{ij}(x)$ ，代表只涉及第 i 个相机位姿和第 j 个路标点，因此有

$$J_{ij}(x) = \left(\mathbf{0}_{2 \times 6}, \dots, \mathbf{0}_{2 \times 6}, \frac{\partial e_{ij}}{\partial \xi_i}, \mathbf{0}_{2 \times 6}, \dots, \mathbf{0}_{2 \times 3}, \dots, \mathbf{0}_{2 \times 3}, \frac{\partial e_{ij}}{\partial p_j}, \mathbf{0}_{2 \times 3}, \dots, \mathbf{0}_{2 \times 3} \right).$$

这种形式的雅可比矩阵，计算 $J^T J$ 时候会出现什么样的结果？如下图所示：

$$J = \begin{array}{cccccccc} \square & \square & \color{blue}\square & \square & \square & \square & \color{blue}\square & \square \\ & & \uparrow & & & & \uparrow & \\ & & i & & & & j & \end{array} \quad \Bigg| \quad H += \begin{array}{cccccccc} & & & i & & & & j \\ \color{blue}\square & \square & \square & \square & \square & \square & \square & \square \\ \color{blue}\square & \square & \square & \square & \square & \square & \square & \square \\ \color{blue}\square & \square & \color{blue}\square & \square & \square & \square & \square & \color{blue}\square \\ & & \vdots & & & & & \\ \color{blue}\square & \square & \square & \color{blue}\square & \square & \square & \square & \color{blue}\square \\ & & & & & & & \\ \color{blue}\square & \square & \square & \square & \square & \square & \square & \square \end{array}$$

那么我们计算整体的H，使用如下公式：

$$H = \sum_{i,j} J_{ij}^T J_{ij}$$

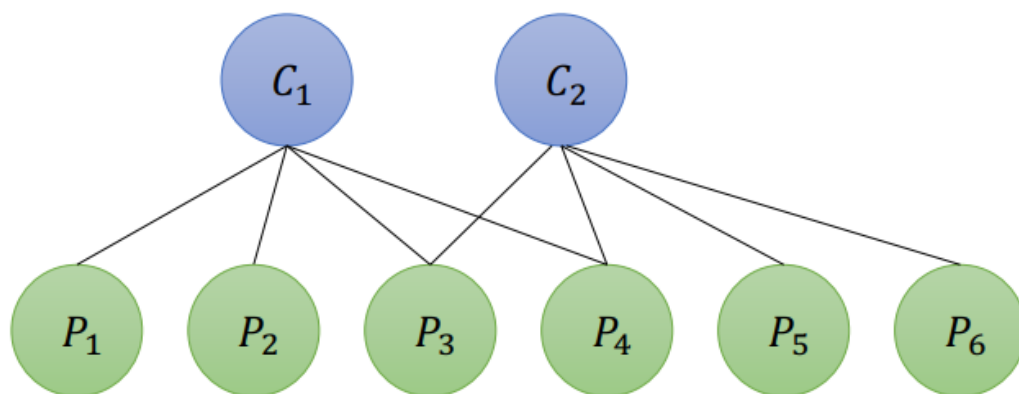
i在所有相机位姿中取值，j在所有路标点中取值，并且把H进行分块

$$H = \begin{bmatrix} H_{11} & H_{12} \\ H_{21} & H_{22} \end{bmatrix}$$

这里，H11和H22都是分块对角矩阵，分别只与相机位姿和路标点有关，这个H有三大特点：

1. 不管i，j如何变化，H11都是分块对角矩阵，只在Hii处有非零块
2. 同理，H22也是对角阵，只在Hjj处有非零块
3. 对于H12和H21，它们可能是稀疏的，也可能是稠密的，根据具体的观测数据而定。

H的稀疏结构，对之后的线性方程求解中很重要。现在举一个例子，如下图：C1，C2为相机位姿，P1~P6路标。



在位姿C1处观测到了P1~P4路标，在位姿C2处观测到了P3~P6路标。由上述的稀疏性，易得J11的形式：

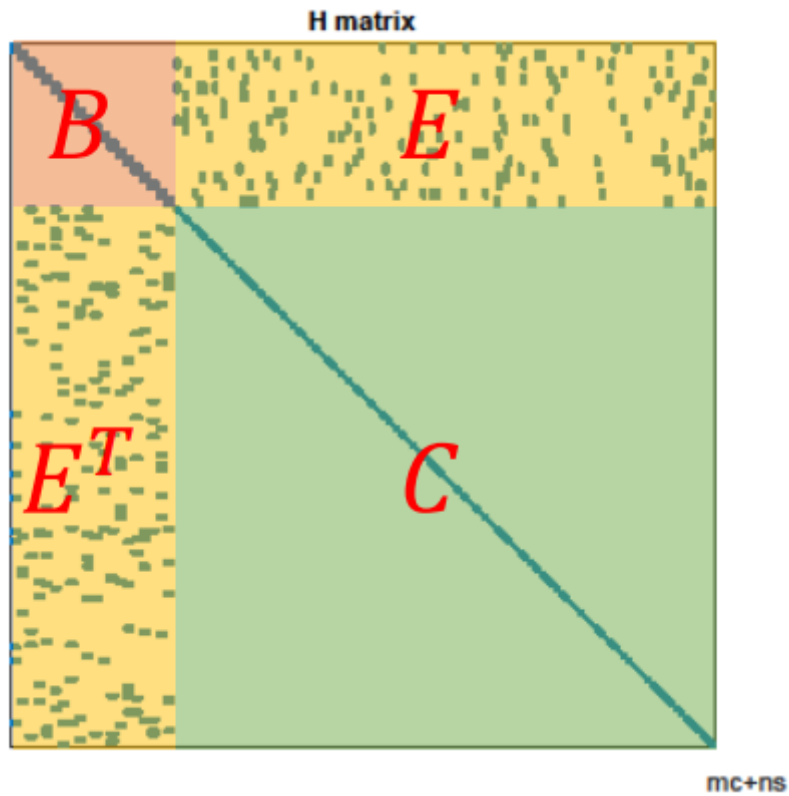
$$J_{11} = \begin{bmatrix} C_1 & C_2 & P_1 & P_2 & P_3 & P_4 & P_5 & P_6 \\ \text{[Block]} & & \text{[Block]} & & & & & \end{bmatrix}$$

类推，J的形式和H的形式：

$$J = \begin{bmatrix} J_{11} \\ J_{12} \\ J_{13} \\ J_{14} \\ J_{23} \\ J_{24} \\ J_{25} \\ J_{26} \end{bmatrix} = \begin{bmatrix} C_1 & C_2 & P_1 & P_2 & P_3 & P_4 & P_5 & P_6 \\ \text{[Block]} & & \text{[Block]} & & & & & \\ & \text{[Block]} & & & & & & \\ & & \text{[Block]} & & & & & \\ & & & \text{[Block]} & & & & \\ & & & & \text{[Block]} & & & \\ & & & & & \text{[Block]} & & \\ & & & & & & \text{[Block]} & \\ & & & & & & & \text{[Block]} \end{bmatrix} \quad H = J^T J = \begin{bmatrix} \text{[Block]} & & & & & & & \\ & \text{[Block]} & & & & & & \\ & & \text{[Block]} & & & & & \\ & & & \text{[Block]} & & & & \\ & & & & \text{[Block]} & & & \\ & & & & & \text{[Block]} & & \\ & & & & & & \text{[Block]} & \\ & & & & & & & \text{[Block]} \end{bmatrix}$$

求解方法

对于这种稀疏结构的H，线性方程 $H\Delta x = g$ 的求解会变得简单，我们将其分块：如下图所示



于是对应的线性方程组变为：

$$\begin{bmatrix} B & E \\ E^T & C \end{bmatrix} \begin{bmatrix} \Delta x_c \\ \Delta x_p \end{bmatrix} = \begin{bmatrix} v \\ w \end{bmatrix}$$

其中B和C为分块对角矩阵。考虑到，求解分块对角矩阵的逆就是求解对角线上每个矩阵的逆。因此，我们目标是消去非对角部分E：

$$\begin{bmatrix} I & -EC^{-1} \\ 0 & I \end{bmatrix} \begin{bmatrix} B & E \\ E^T & C \end{bmatrix} \begin{bmatrix} \Delta x_c \\ \Delta x_p \end{bmatrix} = \begin{bmatrix} I & -EC^{-1} \\ 0 & I \end{bmatrix} \begin{bmatrix} v \\ w \end{bmatrix}$$

整理得到：

$$\begin{bmatrix} B - EC^{-1}E^T & 0 \\ E^T & C \end{bmatrix} \begin{bmatrix} \Delta x_c \\ \Delta x_p \end{bmatrix} = \begin{bmatrix} v - EC^{-1}w \\ w \end{bmatrix}$$

第一行方程组变为和 Δx_p 无关的项，把它解出来，再代入原方程解出 Δx_p 即可。

10.2.4 鲁棒核函数

当出现误匹配情况时，调整这个情况是没有任何意义的，并且会严重影响正确的优化，因此我们提出鲁棒核函数：**当误差很大时，其增长速度没有那么快**。例如常用的Huber核：

$$H(e) = \begin{cases} \frac{1}{2}e^2 & , \text{ if } |e| \leq \delta \\ \delta(|e| - \frac{1}{2}\delta) & , \text{ otherwise} \end{cases}$$

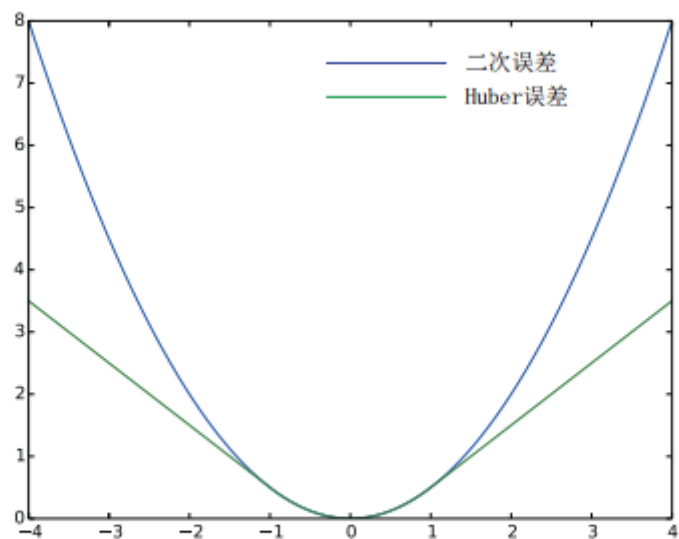


图 10-12 Huber 核函数。

除了Huber核之外，还有Cauchy核、Tukey核等等。